



**XXXI Congresso Nazionale AIRB**

meeting congiunto con

**VII Congresso Nazionale AIRO Giovani**

**Firenze 13-14 Giugno 2014**

**L'inibizione della Gliossalasi I induce apoptosi in cellule MCF-7 irradiate attraverso un nuovo meccanismo mediato da Hsp27, p53 ed NF-kB**

<sup>a</sup>Cinzia Antognelli, <sup>b</sup>Isabella Palumbo, <sup>a</sup>Vincenzo N. Talesa, <sup>b</sup>Cynthia Aristei

<sup>a</sup>Dipartimento di Medicina Sperimentale, Università degli Studi di Perugia

<sup>b</sup>Dipartimento di Scienze Chirurgiche e Biomediche, Università degli Studi e Azienda Ospedaliera di Perugia

# INTRAOPERATIVE RADIOTHERAPY WITH ELECTRONS TRIAL(ELIOT)

[Intraoperative radiotherapy versus external radiotherapy for early breast cancer \(ELIOT\): a randomised controlled equivalence trial.](#)

Veronesi U, Orecchia R, Maisonneuve P, Viale G, Rotmensz N, Sangalli C, Luini A, Veronesi P, Galimberti V, Zurrada S, Leonardi MC, Lazzari R, Cattani F, Gentilini O, Intra M, Caldarella P, Ballardini B.

Lancet Oncol. 2013;14(13):1269-77. doi: 10.1016/S1470-2045(13)70497-2.

[Long-term side effects and cosmetic outcome in a pool of breast cancer patients treated with intraoperative radiotherapy with electrons as sole treatment.](#)

Leonardi MC, Ivaldi GB, Santoro L, Lazzari R, Ferrari A, Morra A, Caldarella P, Burgoa L, Bassi FD, Sangalli C, Rotmensz N, Luini A, Veronesi U, Orecchia R.

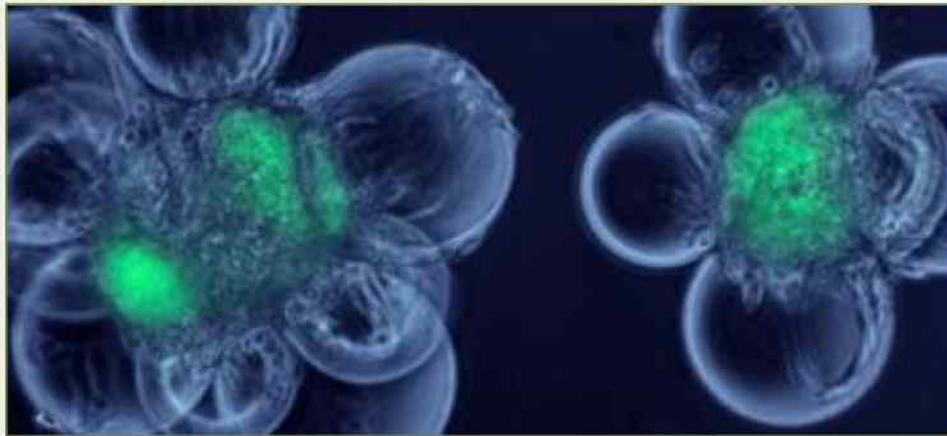
Tumori. 2012 98(3):324-30. doi: 10.1700/1125.12400.

[Intraoperative radiotherapy during breast conserving surgery: a study on 1,822 cases treated with electrons.](#)

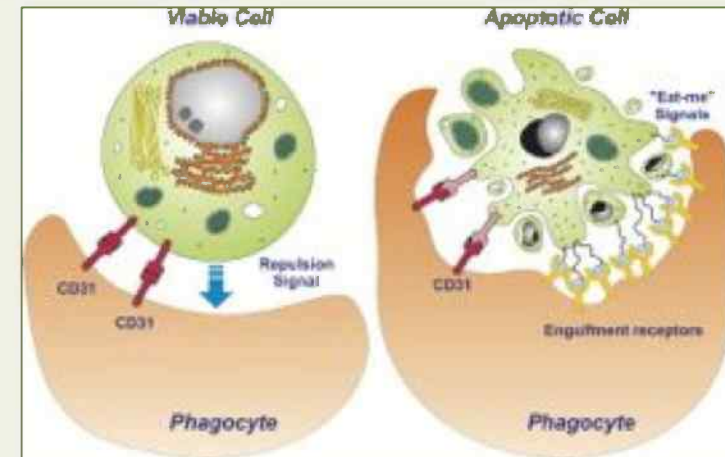
Veronesi U, Orecchia R, Luini A, Galimberti V, Zurrada S, Intra M, Veronesi P, Arnone P, Leonardi MC, Ciocca M, Lazzari R, Caldarella P, Rotmensz N, Sangalli C, Sances D, Maisonneuve P.

Breast Cancer Res Treat. 2010;124(1):141-51. doi: 10.1007/s10549-010-1115-5.

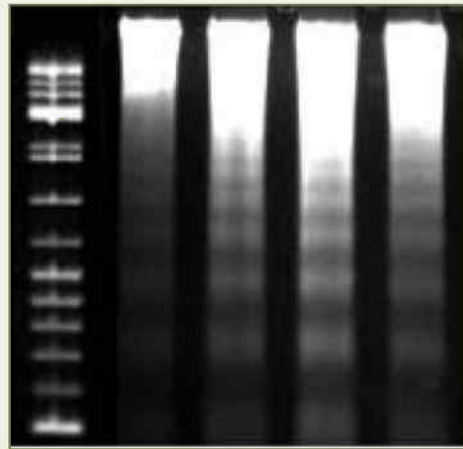
# MORTE CELLULARE PROGRAMMATA: APOPTOSI



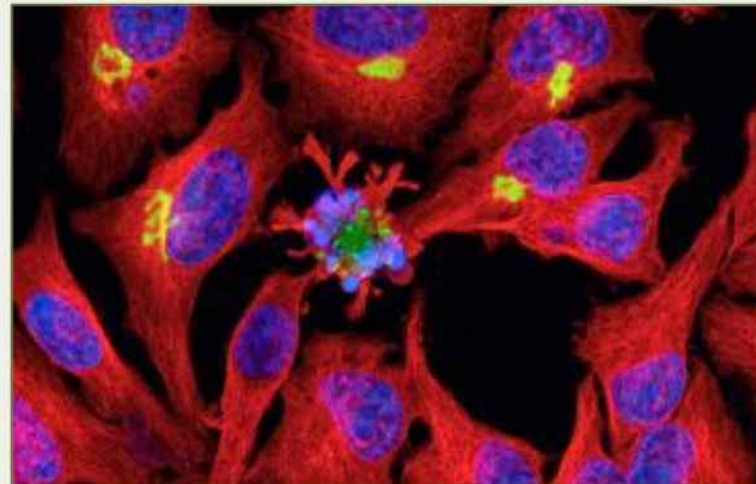
Cell blebbing



Phagocytosis



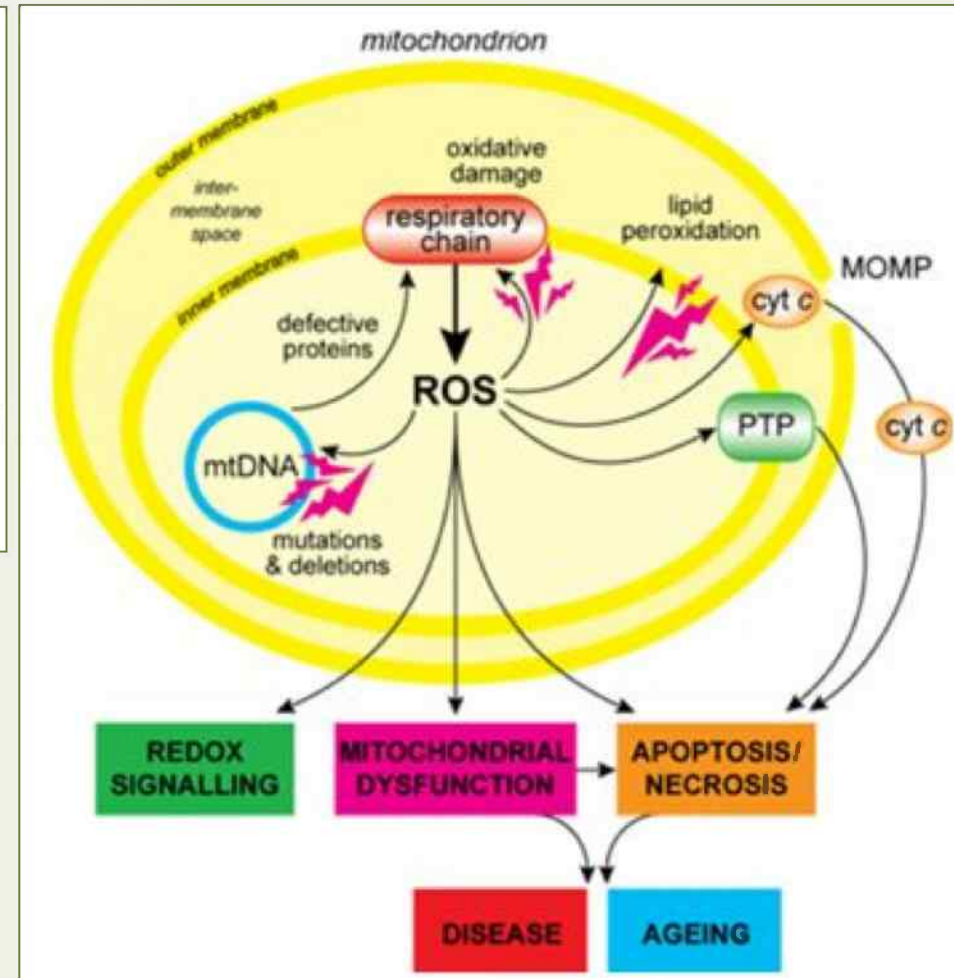
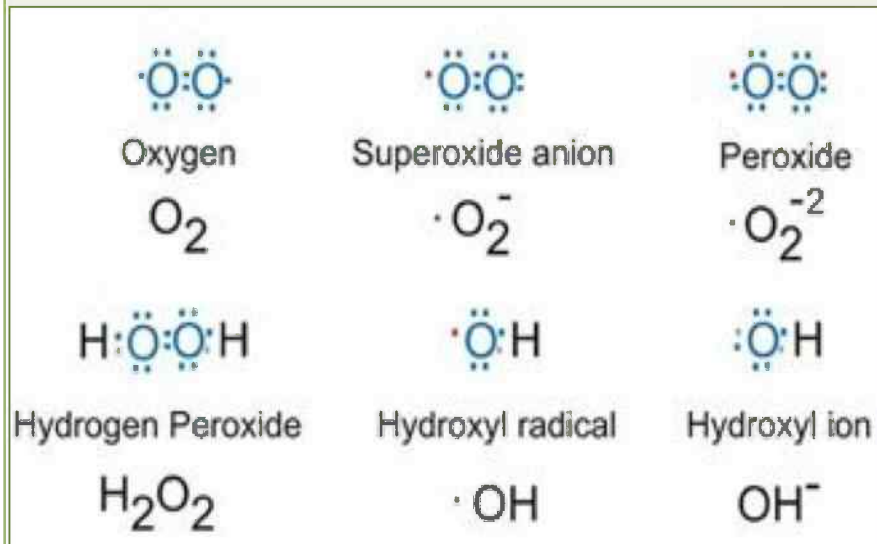
DNA laddering



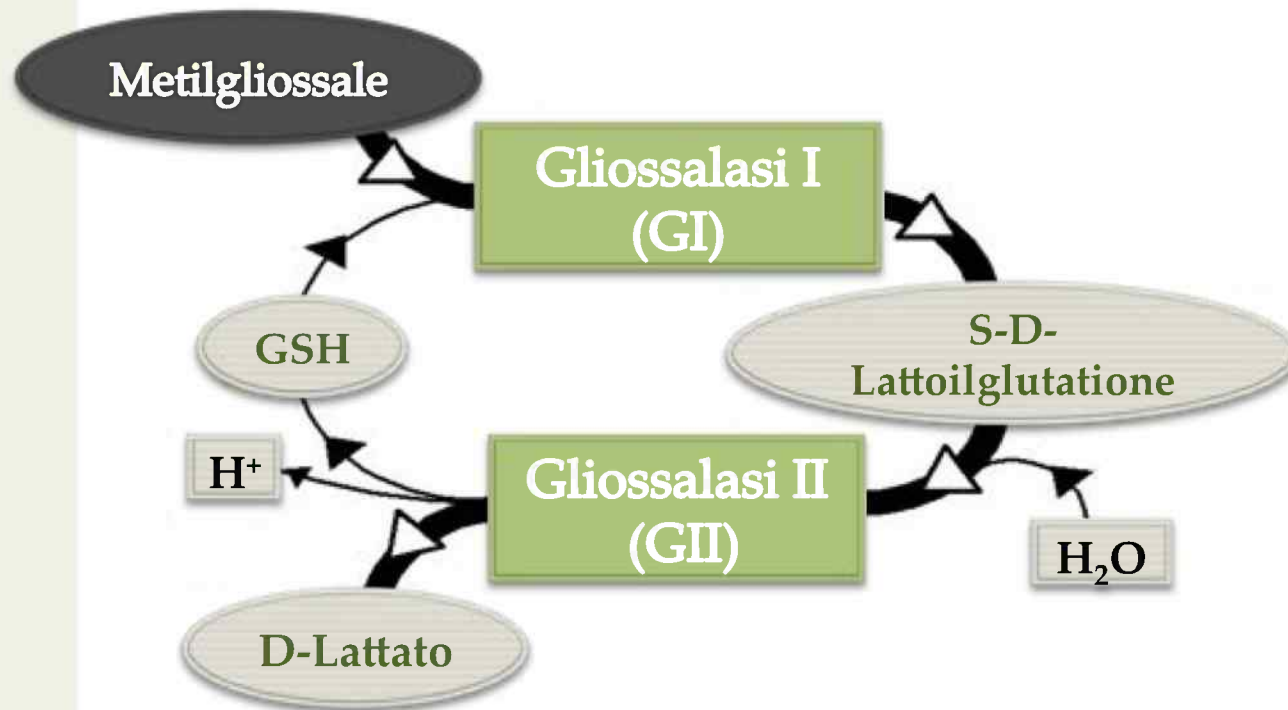
F-actin - Immunofluorescence



# LE SPECIE REATTIVE DELL'OSSIGENO (ROS)



# IL SISTEMA DELLE GLIOSSALASI



# METILGLIOSSALE (MGO)

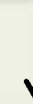
GLICOLISI



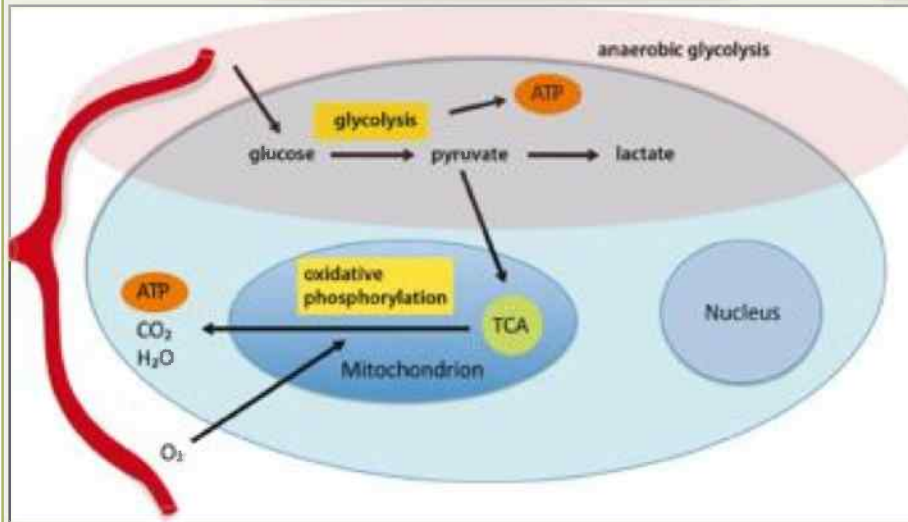
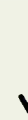
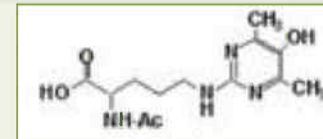
MGO



AGEs



ARGPIRIMIDINA (AP)



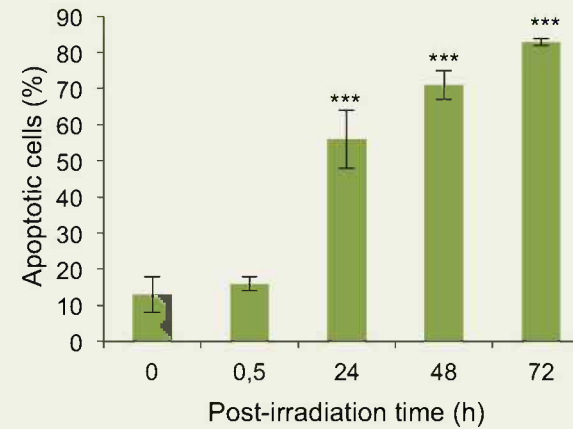
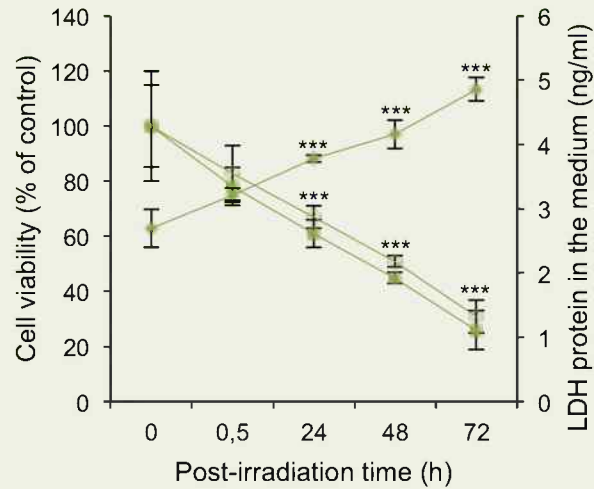
## OBIETTIVO DELLA RICERCA



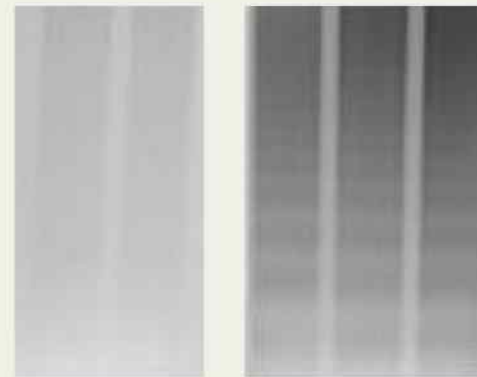
**RUOLO DELLA GLIOSSALASI I  
NELL'APOPTOSI INDOTTA DALLE  
RADIAZIONI IONIZZANTI NELLA LINEA  
CELLULARE DI ADENOCARCINOMA  
MAMMARIO UMANO ORMONO-RESPONSIVA,  
MCF-7, MODELLO CELLULARE DI CANCRO  
DELLA MAMMELLA A STADIO INIZIALE,  
ESPOSTA ALLA SINGOLA DOSE DI 21 Gy,  
COME DA PROTOCOLLO ELIOT**

# Le radiazioni ionizzanti (IR) inducono citotossicità in cellule MCF-7 attraverso l'induzione di apoptosi

## RISULTATI



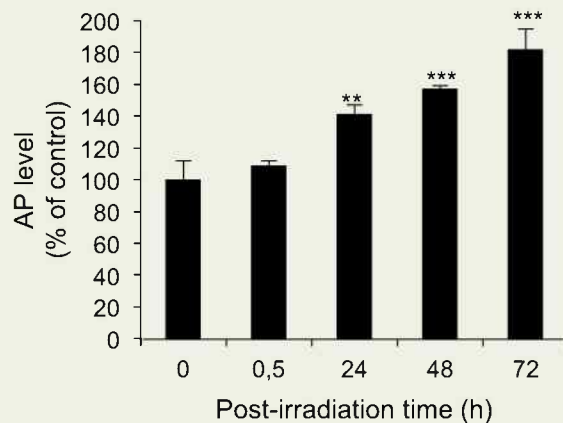
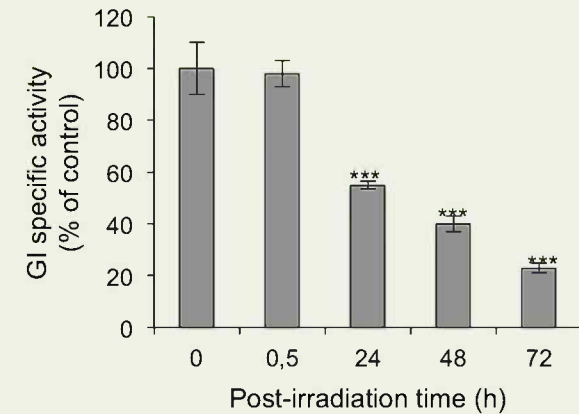
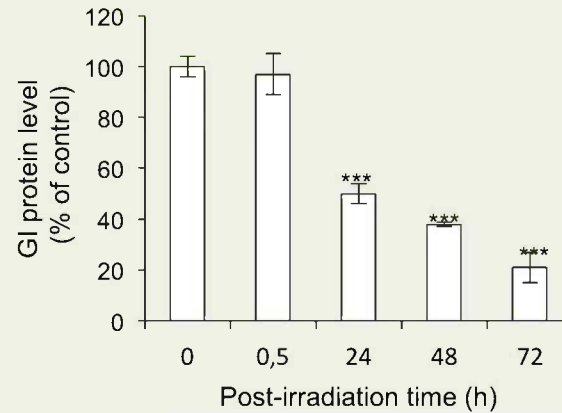
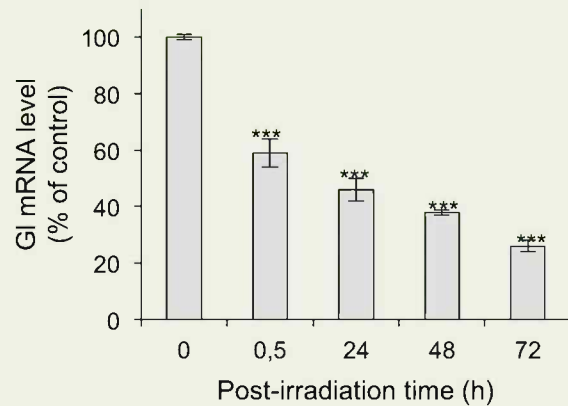
\*\*\*p < 0.001





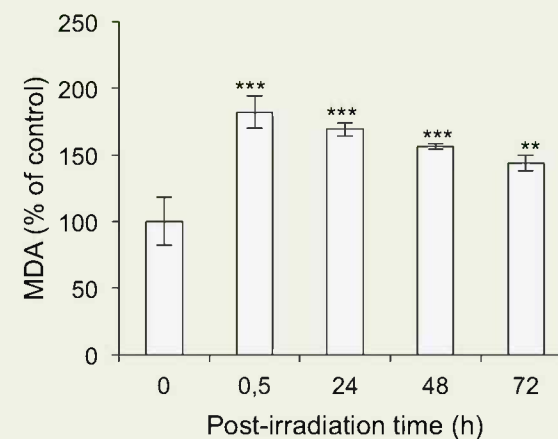
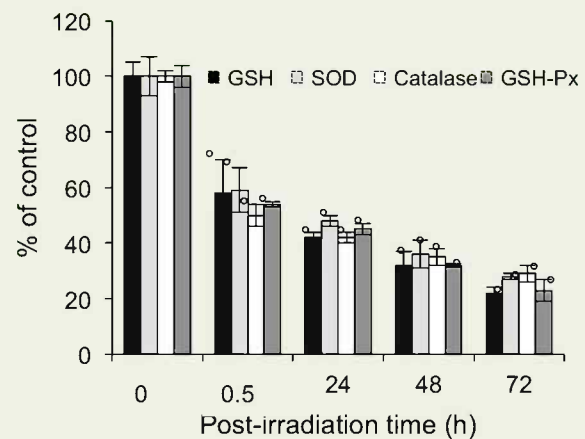
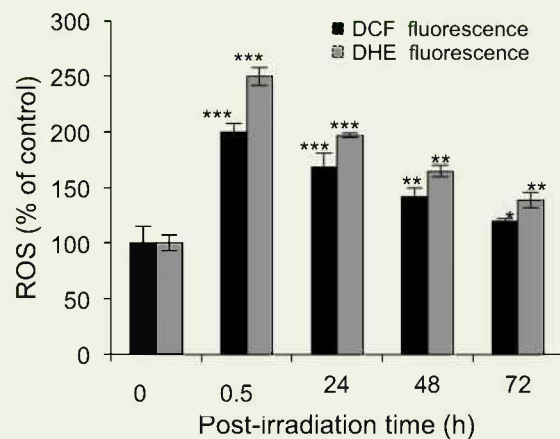
# Effetto delle IR sul profilo di espressione di GI e sui livelli intracellulari di Argpirimidina (AP) in cellule MCF-7

## RISULTATI



\*\*p < 0.01, \*\*\*p < 0.001

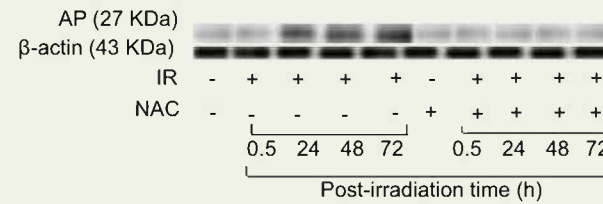
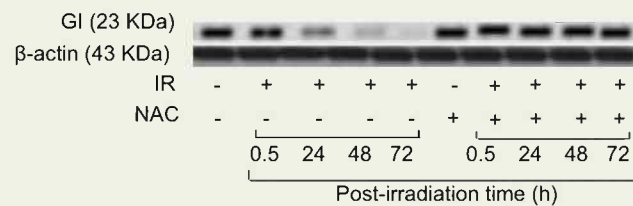
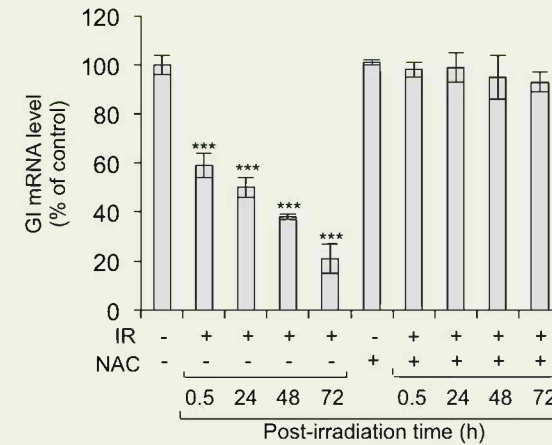
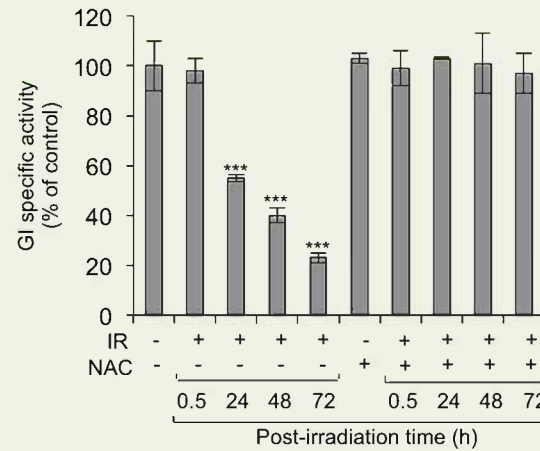
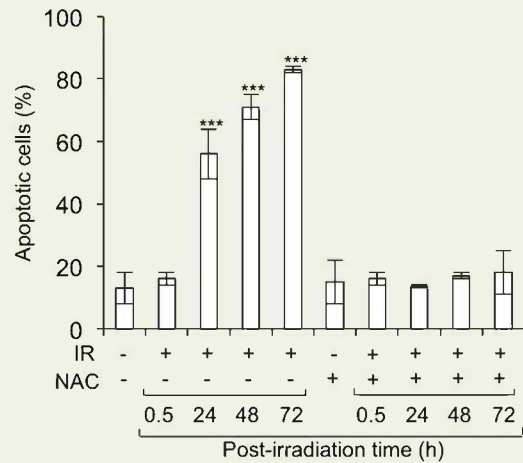
## Le IR inducono stress ossidativo in cellule MCF-7



\*p < 0.05, \*\*p < 0.01, \*\*\*p or °p < 0.001

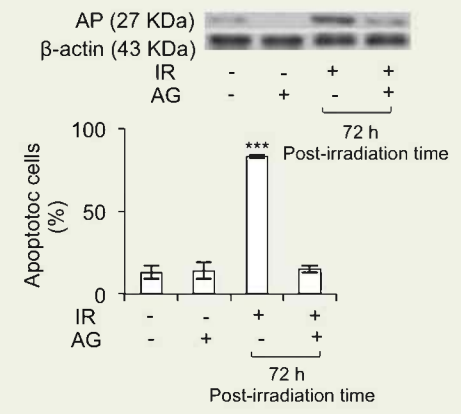
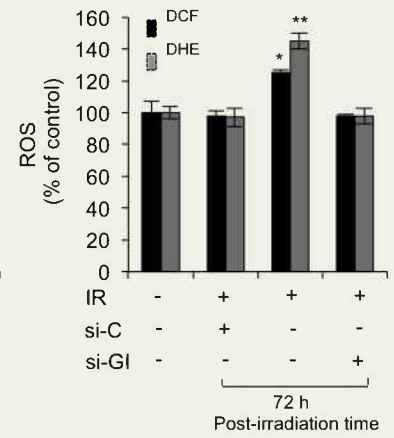
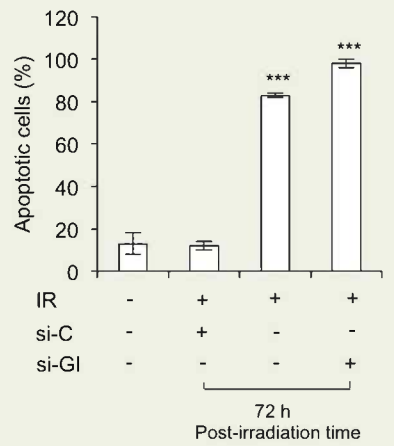
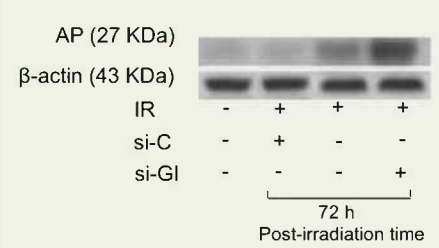
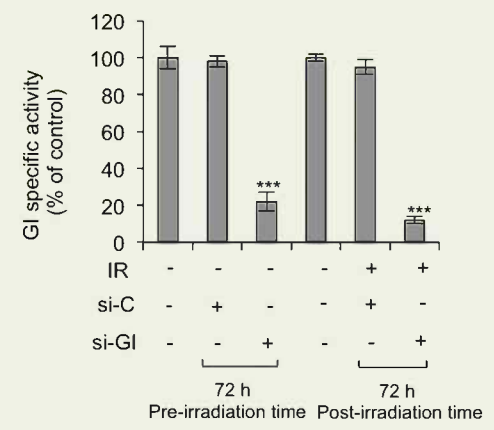
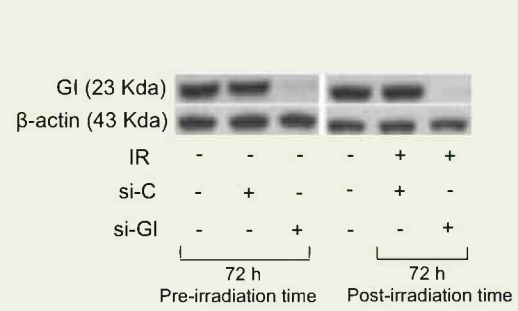
# RISULTATI

L'apoptosi indotta dalle IR si realizza attraverso l'inibizione mediata dai ROS della GI e l'accumulo intracellulare di AP in cellule MCF-7



\*\*\*p < 0.001

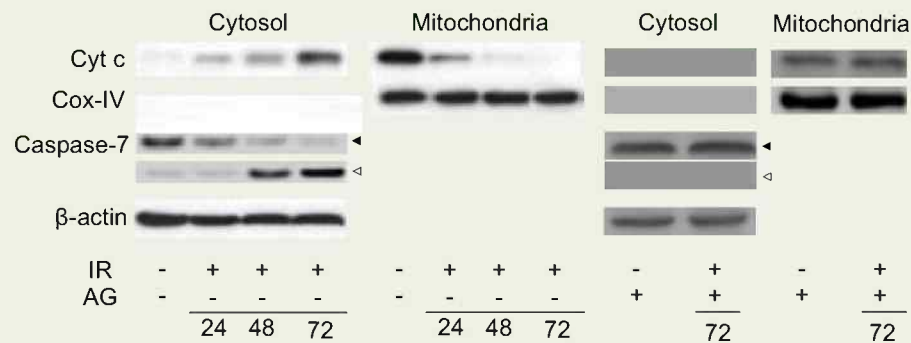
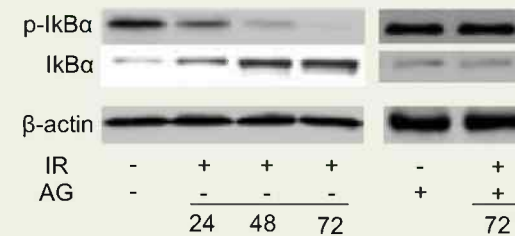
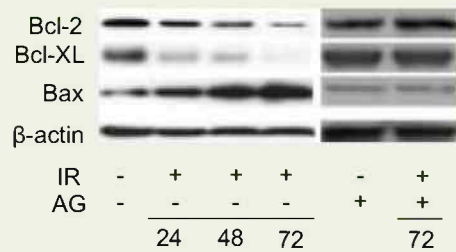
## L'apoptosi indotta dalle IR si realizza attraverso l'inibizione di GI e l'accumulo intracellulare di AP in cellule MCF-7



\*p < 0.05, \*\*p < 0.01, \*\*\*p < 0.001

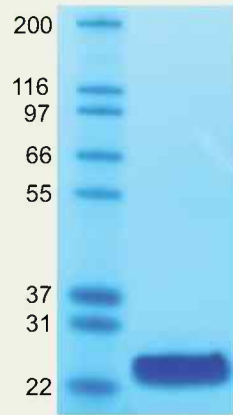
L'inibizione della GI mediata dai ROS e indotta dalle IR, accompagnata dall'accumulo di AP, dirige un pathway apoptotico mitocondriale che coinvolge NF-kB

# RISULTATI

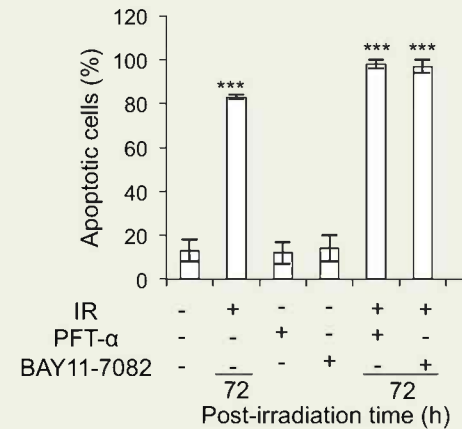
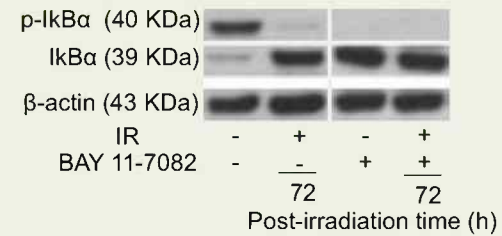
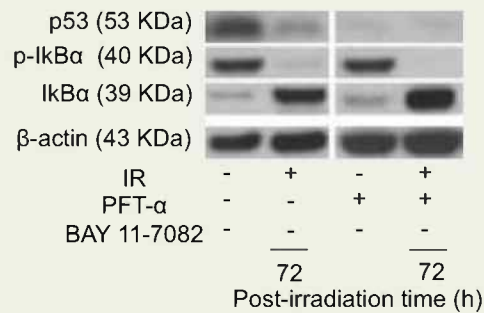
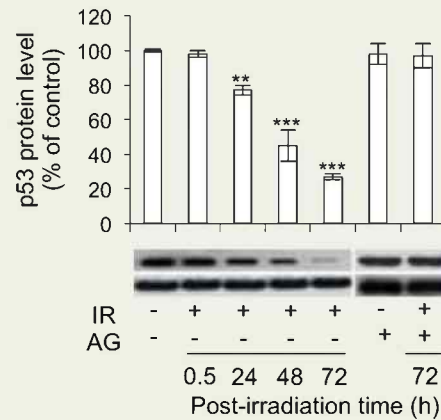




## Ruolo di Hsp27 e p53 nel pathway apoptotico mitocondriale mediato dai ROS e indotto dalle IR



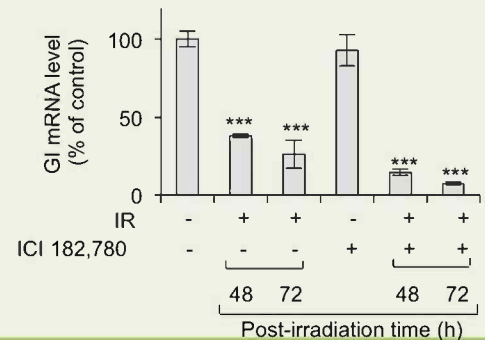
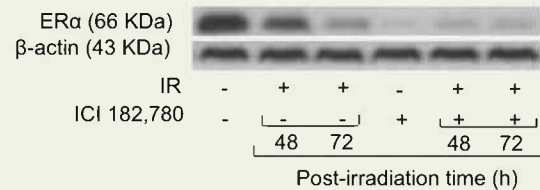
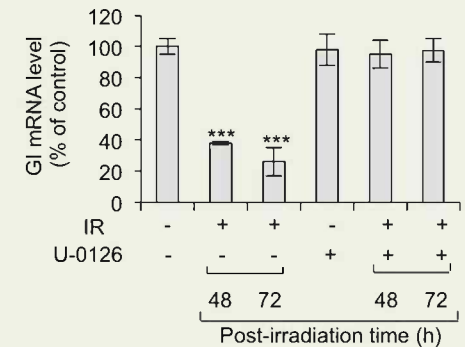
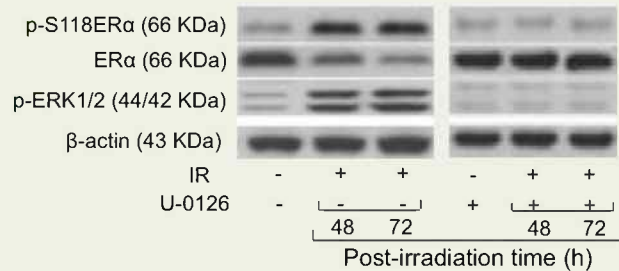
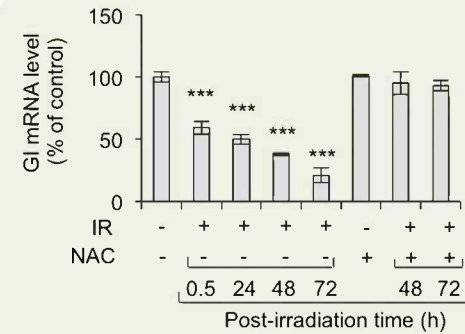
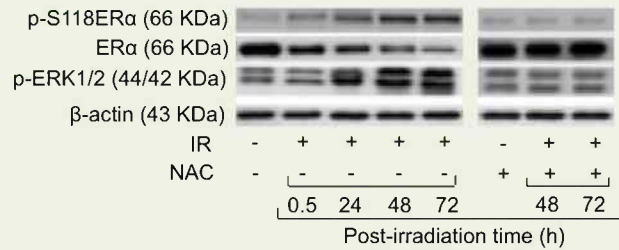
1 19  
 27 kDa protein: PPGVDPTQVSSSLSP EGT LTV-  
 Human Hsp27: PPGVDPTQVSSSLSP EGT LTV-  
 145 165



\*\*p < 0.01, \*\*\*p < 0.001

# La modulazione negativa del trascritto di GI mediata dai ROS e indotta dalle IR ha luogo attraverso ER $\alpha$ e ERK 1/2 MAPK

## RISULTATI



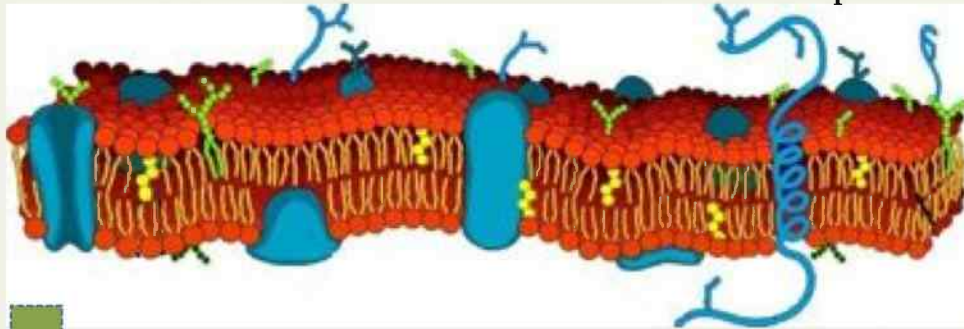
\*\*\*p < 0.001

# MECCANISMO

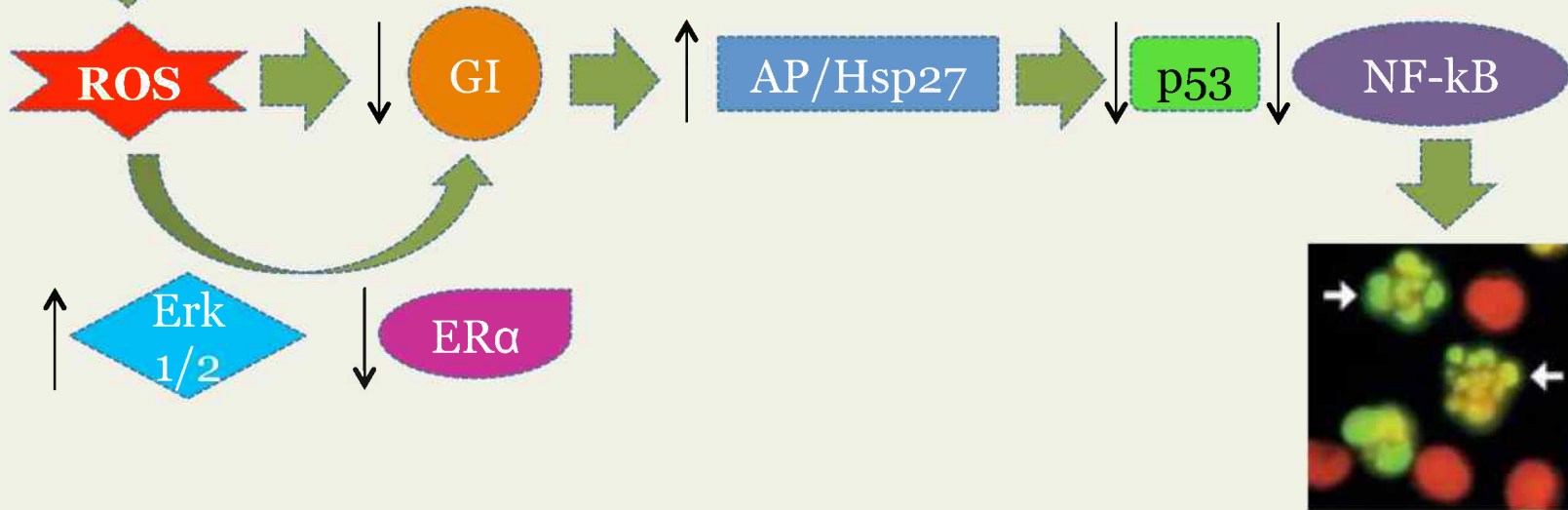


Membrana cellulare

Lato extracitoplasmatico



Lato citoplasmatico



## CONCLUSIONI



L'efficacia apoptogenica della dose di radiazioni ionizzanti impiegata nel protocollo ELIOT in cellule ormono-responsive a stadio iniziale di cancro della mammella supporta, *in vitro*, l'osservata efficacia di tale terapia in pazienti con tipizzazione bio-patologica favorevole.

... Grazie ...



*Azienda Ospedaliero - Universitaria di Perugia*

